



УКРАЇНА

(19) UA (11) 107590 (13) U

(51) МПК (2016.01)

H04L 1/00

G11C 8/10 (2006.01)

ДЕРЖАВНА СЛУЖБА  
ІНТЕЛЕКТУАЛЬНОЇ  
ВЛАСНОСТІ  
УКРАЇНИ

## (12) ОПИС ДО ПАТЕНТУ НА КОРИСНУ МОДЕЛЬ

(21) Номер заявки: u 2016 00103

(22) Дата подання заявки: 04.01.2016

(24) Дата, з якої є чинними 10.06.2016  
права на корисну  
модель:

(46) Публікація відомостей 10.06.2016, Бюл.№ 11  
про видачу патенту:

(72) Винахідник(и):

Цопа Олександр Іванович (UA),  
Битченко Олександр Миколайович (UA),  
Ганшин Дмитро Геннадійович (UA)

(73) Власник(и):

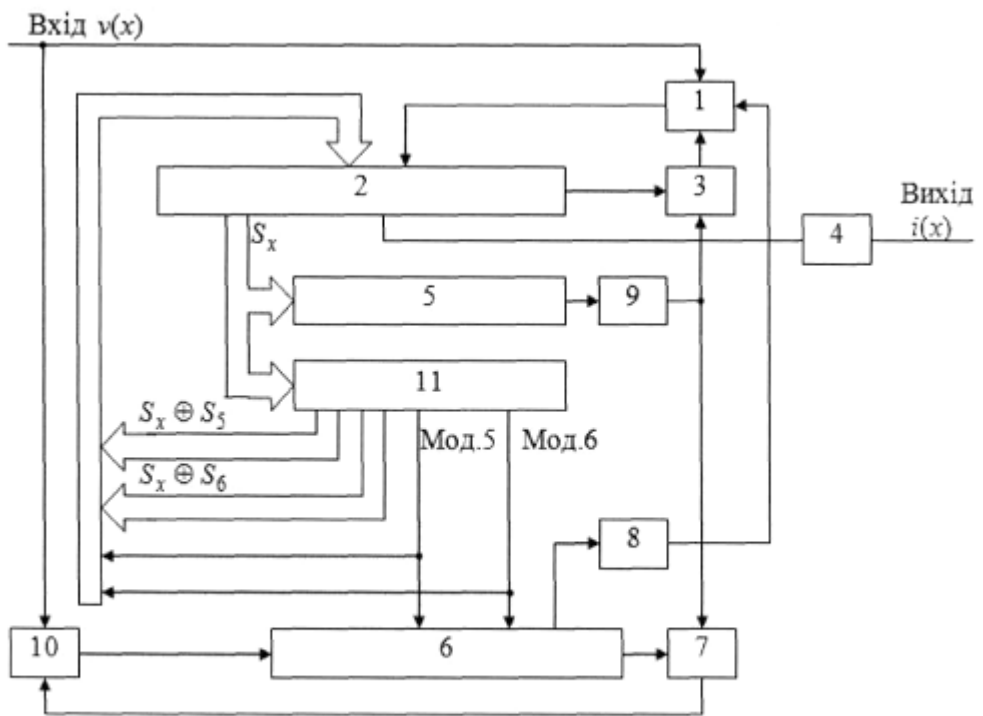
ХАРКІВСЬКИЙ НАЦІОНАЛЬНИЙ  
УНІВЕРСИТЕТ РАДІОЕЛЕКТРОНІКИ,  
пр. Науки, 14, м. Харків, 61166 (UA)

## (54) МОДИФІКОВАНІЙ НЕАЛГЕБРАЇЧНИЙ ДЕКОДЕР

(57) Реферат:

Неалгебраїчний декодер коригувальних кодів містить перший пристрій розв'язки вхідних сигналів, перший вхід якого з'єднаний із входом декодера  $v(x)$ , синдромний  $(n-k)$ -розрядний реєстр зсуву зі зворотними зв'язками, вихід старшого розряду якого з'єднано з першим входом модифікатора синдрому, а з виходу молодшого розряду виділяється інформаційна посилка, яка через перший ключ подається на вихід декодера, виходи кожного тригера синдромного  $(n-k)$ -розрядного реєстра зсуву зі зворотними зв'язками  $S_x$  з'єднані із входами логічного блока перевірки синдромів за заданими критеріями, буферний  $n$ -розрядний реєстр зсуву, вихід якого з'єднаний з першим входом коректора помилок, другий вхід якого з'єднано з другим входом модифікатора синдрому, другий ключ, який встановлено між виходом  $(n-k)$ -го осередку буферного  $n$ -розрядного реєстра зсуву і третім входом першого пристрою розв'язки вхідних сигналів. Крім цього, в нього додатково введені третій ключ, який одним кінцем з'єднаний з виходом логічного блока перевірки синдромів за заданими критеріями, а другим з другим входом коректора помилок та першим входом модифікатора синдрому, другий пристрій розв'язки вхідних сигналів, перший вхід якого з'єднано із вхідом декодера  $v(x)$  та першим входом першого пристрою розв'язки вхідних сигналів, другий вхід з виходом коректора помилок, а вихід із вхідом буферного  $n$ -розрядного реєстра зсуву.

UA 107590 U



Фіг. 1

Корисна модель належить до області завадостійкого кодування і може бути використана в цифрових каналах передачі інформації, у телекомунікаційних комп'ютерних мережах, супутниковых мережах передачі даних, стільникових мережах мобільного зв'язку цифрових стандартів, пристроях запису/зчитування інформації на магнітні або оптичні носії й у ряді інших областей передачі й обробки інформації.

Є відомий неалгебраїчний декодер Меггіта для декодування кодових слів досконалого коду Голея, що включає додатково коригувальну схему, керовану керуючою схемою й з'єднану з розрядами (тригерами) зсувного буферного реєстра, що дозволяє в 1,5 разу підвищити швидкість декодування [1].

Недоліком даного пристрою є неможливість повної обробки несистематичних кодових слів без додаткового пристрою-виділювача з них інформаційних груп.

Є відомий синдромний декодер для несистематичного (15, 11) коду Хеммінга [2], що містить 4-роздрійний синдромний реєстр зі зворотними зв'язками, виходи кожного тригера якого з'єднані із чотирма входами пристрою зберігання всіх синдромів - ПЗП з організацією 16 кодових слів по 15 бітів кожне. Крім того, він містить два 15-бітових зсувних реєстри, причому вхід одного з них з'єднаний з вхідом ПЗП, а вхід другого - із вхідом декодера, виходи обох реєстрів з'єднані із вхідом суматора за модулем 2 (коректора помилок), вихід якого з'єднаний із вхідом пристрою виділення інформаційної групи  $i(x)$  з оцінки кодового слова  $\tilde{C}(x)$  на вихіді декодера й реєстр, що являє собою зсувний реєстр зі зворотними зв'язками (цифровий фільтр).

Недоліками пристрою є складність схеми декодера для несистематичного коду за рахунок приєднання до нього пристрою виділення інформаційної групи (цифрового фільтра-дільника), вузька межа використання декодера та великий час обробки кодових слів.

Найбільш близьким по технічній суті є неалгебраїчний декодер коригувальних кодів [3]. Декодер, узятий як прототип, містить пристрій розв'язки вхідних сигналів, синдромний реєстр зсуву зі зворотними зв'язками, логічний блок перевірки синдромів за заданими критеріями, буферний n-роздрійний реєстр зсуву, модифікатор синдрому, коректор помилок та три ключі.

Робота прототипу відбувається в такий спосіб. Попередньо всі блоки декодера обнулені. Вхідне кодове слово  $v(x)$ , можливо, уражене перешкодами в каналі зв'язку (тобто з помилками) послідовно подається на вхід синдромного  $(n-k)$ -роздрійного реєстра зсуву зі зворотними зв'язками, де  $n$  - довжина кодового слова, а  $k$  - довжина інформаційної частини кодового слова та, через пристрій розв'язки вхідних сигналів, на вхід буферного n-роздрійного реєстра зсуву. Неалгебраїчний декодер обробляє вхідні кодові слова за три цикли роботи з  $n$  часових тактів кожний.

Протягом 1-го циклу роботи в синдромному реєстрі зсуву формується синдром, а буферний n-роздрійний реєстр зсуву послідовно заповнюється символами кодового слова  $v(x)$ , що надходить на вхід декодера. Оскільки синдром по визначенню є залишком від ділення  $v(x)$  на утворюючий поліном  $g(x)$ , то синдромний реєстр зсуву, структура якого задається структурою  $g(x)$ , є таким дільником (цифровим фільтром). На цьому циклі ключ  $K1$  розімкнутий, а тому стан виходу логічного блока перевірки синдромів за заданими критеріями не аналізується. Якщо продекодоване кодове слово  $c(x)$  не має помилок, то  $v(x)=c(x)$ ,  $e(x)=0$ , і до кінця 1-го циклу роботи синдромний реєстр зсуву обнуляється. У випадку наявності помилок у кодовому слові, що надходить на декодер,  $e(x) \neq 0$ ,  $v(x) \neq c(x)$ , і до кінця 1-го циклу роботи на виході синдромного реєстра зсуву формується деяка кодова комбінація. Протягом 1-го циклу роботи ключі  $K2$  і  $K3$  також розімкнуться.

З початком 2-го циклу роботи ключ  $K1$  замикається і логічний блок перевірки синдромів за заданими критеріями на кожному такті аналізує кодові комбінації на виходах осередків синдромного реєстра зсуву. У випадках виявлення синдромів способом, різним для кожного типу декодера, логічний блок видає з виходу сигнал логічної одиниці, що надходить на коректор помилок, виправлюючи помилку, і на модифікатор синдромів, спрощуючи структуру синдромів. За час 2-го циклу роботи ключі  $K2$  і  $K3$  розімкнуться. У результаті вхідна послідовність  $v(x)$  примусово повторно проходить осередки буферного n-роздрійного реєстра зсуву, що забезпечує скорочення відстані між широко розташованими помилками (більше ніж  $n-k$  біт) і дозволяє обробляти їх виправлюючи.

Протягом 3-го циклу роботи синдромний реєстр зсуву продовжує працювати разом з логічним блоком перевірки синдромів за заданими критеріями, виправлюючи помилки, що залишилися, і модернізує синдроми. З виправленням останньої помилки синдромний реєстр зсуву обнуляється.

На цьому останньому циклі роботи функціонування декодера залежить від способу формування кодових слів.

А. У випадку формування кодового слова систематичним методом ключ K1 замкнений, ключ K2 розімкнений, вихідний ключ K3 замкнений протягом перших k тaktів, пропускаючи на "Вихід" інформаційну групу i(x), після чого розмикається.

Б. У випадку формування кодового слова несистематичним методом, починаючи з (n-k)-го такту цього циклу розмикається ключ K1, а ключі K2 та K3 замикаються. При цьому з виходу  $T_{n-k}$  буферного реєстра зсуву подається прийнята кодова послідовність  $c(x)$  з виправленими помилками на вхід синдромного реєстра, а з виходу першого тригера цього реєстра знімається виділена інформаційна послідовність  $i(x)$ , яка і передається на "Вихід".

Наприкінці 3-го циклу роботи реєстри обнуляються, і декодер готовий до обробки чергового кодового слова, можливо, враженого перешкодами в каналі зв'язку.

Недоліком прототипу є те, що при деяких комбінаціях (порядку 8-10 % можливих комбінацій прийнятого коду) декодер не виявляє і не виправлює помилки.

В підтвердження цього розглянемо роботу синдромного реєстра прототипу на конкретному прикладі. Приймемо що на передавальній стороні кодові слова бінарного коду Голея (23,12,7) формуються кодером несистематичним способом, тобто

$$c(x)=i(x) \cdot g(x), \quad (1)$$

Кодуванню підлягало інформаційне повідомлення

$$i(x)=x^{11}+x^3, \quad (2)$$

або у векторному вигляді  $I=1000000001000$ .

Утворюючий поліном  $g(x)$  для цього коду має вигляд [2, с. 89]

$$g(x)=x^{11}+x^{10}+x^6+x^5+x^4+x^2+1. \quad (3)$$

Кодове слово, що надійде на вхід декодера для узятого  $i(x)$ , без враження перешкодами, прийме значення

$$\begin{aligned} c(x)=i(x) \cdot g(x) &= (x^{11}+x^3)(x^{11}+x^{10}+x^6+x^5+x^4+x^2+1) = \\ &= x^{22}+x^{21}+x^{17}+x^{16}+x^{15}+x^{14}+x^{11}+x^9+x^8+x^7+x^5+x^3, \end{aligned} \quad (4)$$

або у векторному вигляді  $C=11000111100101110101000$ .

Нехай поліном помилок дорівнює

$$e(x)=x^{19 \times 10}+x, \quad (5)$$

що відповідає векторові  $E=00010000000010000000010$ . Тоді кодове слово (4), уражене перешкодами (5), буде мати вигляд

$$v(x)=c(x) \oplus e(x)=x^{22}+x^{21}+x^{19}+x^{17}+x^{16}+x^{15}+x^{14}+x^{11}+x^{10}+x^9+x^8+x^7+x^5+x^3+x, \quad (6)$$

або у векторному вигляді, де виділені біти помилок

$$V=C \oplus E=110 \blacksquare 01111001 \blacksquare 11101010 \blacksquare 0. \quad (7)$$

В основу корисної моделі поставлена задача підвищити надійність виявлення і виправлення помилок і тим самим підвищити практичну значимість декодера за рахунок введення в декодер третього ключа, другого пристрою розв'язки вхідних сигналів, коректора помилок за алгоритмом Касамі та використання як пристрою виділення інформаційної групи синдромного (n-k)-роздрядного реєстра зсуву зі зворотними зв'язками.

Поставлена задача вирішується тим, що в неалгебраїчний декодер коригувальних кодів, що містить перший пристрій розв'язки вхідних сигналів, перший вхід якого з'єднаний із входом декодера  $v(x)$ , синдромний (n-k)-роздрядний реєстр зсуву зі зворотними зв'язками, вихід старшого розряду якого з'єднано з першим входом модифікатора синдрому, а з виходу молодшого розряду виділяється інформаційна посилка, яка через перший ключ подається на вхід декодера, виходи кожного тригера синдромного (n-k)-роздрядного реєстра зсуву зі зворотними зв'язками  $S_x$  з'єднані із входами логічного блока перевірки синдромів за заданими критеріями, буферний n-роздрядний реєстр зсуву, вихід якого з'єднаний з першим входом коректора помилок, другий вхід якого з'єднано з другим входом модифікатора синдрому, другий ключ, який встановлено між виходом (n-k)-го осередку буферного n-роздрядного реєстра зсуву і третім входом першого пристрію розв'язки вхідних сигналів, згідно з корисною моделлю, додатково введені третій ключ, який одним кінцем з'єднаний з виходом логічного блока перевірки синдромів за заданими критеріями, а другим - з другим входом коректора помилок та першим входом модифікатора синдрому, другий пристрій розв'язки вхідних сигналів, перший вхід якого з'єднано із входом декодера  $v(x)$  та першим входом першого пристрію розв'язки вхідних сигналів, другий вхід - з виходом коректора помилок, а вихід із входом буферного n-роздрядного реєстра зсуву, коректор помилок за алгоритмом Касамі, перший та другий виходи корекції якого Мод.5 та Мод.6 з'єднані відповідно з другим та третім входами буферного n-роздрядного реєстра зсуву, а також разом з першим  $S_x \oplus S_5$  та другим  $S_x \oplus S_6$  розрядними виходами формує шину установочних сигналів синдромного (n-k)-роздрядного реєстра зсуву зі зворотними зв'язками, а розрядні виходи коректора помилок за алгоритмом Касамі з'єднані

відповідно з входами логічного блока перевірки синдромів та виходами  $S_x$  синдромного (n-k)-розрядного реєстра зсуву зі зворотними зв'язками.

Таким чином, введення в декодер третього ключа, другого пристрою розв'язки вхідних сигналів, коректора помилок за алгоритмом Касамі і використання як пристрою виділення інформаційної групи синдромного (n-k)-розрядного реєстра зсуву зі зворотними зв'язками, дозволяє підвищити надійність виявлення і виправлення помилок і тим самим підвищити його практичну значимість.

На фіг. 1 зображено структурну схему неалгебраїчного декодера.

На фіг. 2 зображено функціональну схему синдромного (n-k)-розрядного реєстра зсуву зі зворотними зв'язками 2 декодера для коду Голея.

На фіг. 3 зображено структурну схему буферного n-роздрядного реєстра зсуву 6.

На фіг. 4 зображено структурну схему коректора помилок за алгоритмом Касамі 11.

На фіг. 5 зображена принципова схема формування сигналів модифікації синдромного (n-k)-розрядного реєстра зсуву зі зворотними зв'язками 2 і буферного n-роздрядного реєстра зсуву 6.

На фіг. 6 зображено послідовне надходження в синдромний реєстр зсуву протягом 1-го циклу вхідного кодового слова  $v(x)$  (7), що має 3 помилки (їхні позиції відзначенні кольором) і процес формування в ньому синдрому  $S(x)$ , логічного блока перевірки синдромів і коректора помилок за кодограмами.

На фіг. 7 зображено послідовне надходження в буферний реєстр вхідного кодового слова  $v(x)$ , що має 3 помилки і процес їхнього виправлення.

Процес початкового заповнення реєстра в першому циклі роботи декодера на фіг. 7 не показаний.

Модифікований неалгебраїчний декодер (фіг. 1) містить перший пристрій розв'язки вхідних сигналів 1, перший вхід якого з'єднаний із входом декодера  $v(x)$ , синдромний (n-k)-роздрядний реєстр зсуву зі зворотними зв'язками 2, вихід старшого розряду якого з'єднано з першим входом модифікатора синдрому 3, а з виходу молодшого розряду виділяється інформаційна посилка, яка через перший ключ 4 подається на вихід декодера, виходи кожного тригера синдромного (n-k)-роздрядного реєстра зсуву зі зворотними зв'язками 2 з'єднані із входами логічного блока перевірки синдромів за заданими критеріями 5, буферний n-роздрядний реєстр зсуву 6, вихід якого з'єднаний з першим входом коректора помилок 7, другий вхід якого з'єднано з другим входом модифікатора синдрому 3, другий ключ 8, який встановлено між виходом (n-k)-го осередку буферного n-роздрядного реєстра зсуву 6 і третім входом першого пристрію розв'язки вхідних сигналів 1, третій ключ 9, який одним кінцем з'єднаний з виходом логічного блока перевірки синдромів за заданими критеріями 5, а другим з другим входом коректора помилок 7 та другим входом модифікатора синдрому 3, другий пристрій розв'язки вхідних сигналів 10, перший вхід якого з'єднано із входом декодера  $v(x)$  та першим входом першого пристрію розв'язки вхідних сигналів 1, другий вхід з виходом коректора помилок 7, а вихід із входом буферного n-роздрядного реєстра зсуву 6, коректор помилок за алгоритмом Касамі 11, перший та другий виходи корекції якого Мод.5 та Мод.6 з'єднані відповідно з другим та третім входами буферного n-роздрядного реєстра зсуву 6, а також разом з першим  $S_x \oplus S_5$  та другим  $S_x \oplus S_6$  розрядними виходами формує шину установочних сигналів синдромного (n-k)-роздрядного реєстра зсуву зі зворотними зв'язками 2, а розрядні входи коректора помилок за алгоритмом Касамі 11 з'єднані відповідно з виходами логічного блока перевірки синдромів 5 та виходами  $S_x$  синдромного (n-k)-роздрядного реєстра зсуву зі зворотними зв'язками 2.

Розглянемо роботу пропонованого декодера на конкретному прикладі для коду Голея (23,12,7) в якому довжина вектора помилок дорівнює 23, вага не перевершує 3, а довжина синдромного реєстра дорівнює 11. Якщо дана конфігурація декодера помилок не виловлює, то вона не може бути циклічно зсунута так, щоб усі три помилки з'явилися в 11 молодших розрядах. Можна переконатися, що в цьому випадку по одну сторону від однієї з трьох помилкових позицій знаходиться щонайменше п'ять, а по іншу сторону щонайменше шість нулів. Отже, кожна конфігурація помилок, що виправляється, може бути за допомогою циклічних зсувів приведена до одного з трьох наступних виглядів (позиції нумеруються числами від 0 до 22):

1) усі помилки (не більш трьох) розташовані в 11 старших розрядах;

2) одна помилка займає п'яту позицію, а інші розташовані в 11 старших розрядах;

3) одна помилка займає шосту позицію, а інші розташовані в 11 старших розрядах.

Таким чином, у декодері треба заздалегідь обчислити величини

$$S_5(x)=R_{q(x)}[x^{n-k} x^5] \text{ і } S_6(x)=R_{q(x)}[x^{n-k} x^6] \quad (8)$$

Розділивши  $x^{16}$  і  $x^{17}$  на утворюючий поліном (3) маємо

$$S_5(x)=x^9+x^8+x^6+x^5+x^2+x, \quad (9)$$

$$S_6(x)=x^{10}+x^9+x^7+x^6+x^3+x^2 \quad (10)$$

Отже, якщо помилка утримується в п'ятій або шостій позиціях, то синдром відповідно дорівнює (00110011011) або (01100110110). Наявність двох додаткових помилок у 11 старших розрядах призводить до того, що у відповідних позиціях два з цих бітів замінюються на протилежні.

Тоді помилка виловлюється, якщо вага  $S(x)$  не перевищує 3 (умова корекції в декодері описаному в роботі [3]), а також якщо вага  $S(x) \oplus S_5(x)$  або  $S(x) \oplus S_6(x)$  не перевищує 2.

Модифікований неалгебраїчний декодер (фіг. 2) працює пристрій у такий спосіб. Попередньо всі блоки декодера обнулені. Вхідне кодове слово  $v(x)$ , можливо уражене перешкодами в каналі зв'язку (тобто з помилками), послідовно, через перший пристрій розв'язки вхідних сигналів 1, подається на вхід синдромного ( $n-k$ )-розрядного реєстра зсуву зі зворотними зв'язками 2, де  $n$  - довжина кодового слова, а  $k$  - довжина інформаційної частини кодового слова  $i$ , через другий пристрій розв'язки вхідних сигналів 10, на вхід буферного  $n$ -розрядного реєстра зсуву 6. Неалгебраїчний декодер обробляє вхідні кодові слова за три цикли роботи з  $n$  часових тактів у кожнім циклі.

Протягом 1-го циклу роботи в синдромному реєстрі зсуву 2 формується синдром  $S(x)$ , а буферний  $n$ -розрядний реєстр зсуву 6 послідовно заповнюється символами кодового слова  $v(x)$ , що надходить на вхід декодера. Оскільки синдром, по визначенню, є залишком від ділення  $v(x)$  на утворюючий поліном  $g(x)$ , то синдромний реєстр зсуву 2, структура якого задається структурою  $g(x)$ , є цифровим фільтром інформаційних груп.

На цьому циклі ключ 9 розімкнутий, а тому стан виходу логічного блока перевірки синдромів за заданими критеріями 5 не аналізується. Якщо продекодоване кодове слово  $c(x)$  не має помилок, то  $v(x)=c(x)$ ,  $e(x)=0$ , і до кінця 1-го циклу роботи синдромний реєстр зсуву 2 обнуляється. У випадку наявності помилок у кодовому слові, що надходить на декодер,  $e(x) \neq 0$ ,  $v(x) \neq c(x)$ , то до кінця 1-го циклу роботи на виході синдромного реєстра зсуву 2 формується деяка кодова комбінація  $S(x)$ . Протягом 1-го циклу роботи ключі 4 і 8 також розімкнуті.

З початком 2-го циклу роботи ключ 9 замикається і логічний блок перевірки синдромів 5 на кожнім такті аналізує кодові комбінації на виходах осередків синдромного реєстра зсуву 2. Такий аналіз відбувається по двох критеріях:

1. У старшому розряді синдромного реєстра присутня логічна одиниця.
2. Сума логічних одиниць в інших розрядах менше або дорівнює двом.

Тільки при відповідності двом критеріям на виході логічного блока перевірки синдромів 5 формується сигнал логічної одиниці, що надходить на коректор помилок 7 і модифікатор синдрому 3, вправляючи на наступному такті помилку в буферному реєстрі 6 і модифікуючи синдром, перетворюючи в "0" сигнал зворотного зв'язку в синдромному реєстрі.

За час 2-го циклу роботи ключі 4 і 8 розімкнуті. У результаті вхідна послідовність  $v(x)$  примусово повторно проходить осередки буферного  $n$ -розрядного реєстра зсуву 6, що забезпечує скорочення відстані між широко розташованими помилками (більше чим  $n-k$  біт) і дозволяє обробляти і вправляти їх.

Якщо ж логічний блок перевірки синдромів 5 помилки не знайшов, то здійснюється перевірка стану синдромного реєстра 2 коректором помилок за кодограмами 11. У випадку якщо  $S_x \oplus S_5 \leq 2$  формується сигнал логічної одиниці на виході Мод.5 коректора помилок за кодограмами 11, яким вправляється помилка в 5-му розряді буферного реєстра 6 й одночасно результат підсумування по модулю два переписується в синдромний реєстр 2.

У випадку якщо  $S_x \oplus S_6 \leq 2$  аналогічним чином сигналом Мод.6 вправляється помилка в 6-му розряді буферного реєстра 6 і модифікується синдромний реєстр 2.

На третьому циклі роботи, функціонування декодера залежить від способу формування кодових слів.

У випадку формування кодового слова систематичним методом ключ 9 замкнутий, ключ 8 розімкнутий, ключ 4 замкнутий протягом перших  $k$  тактів, пропускаючи на "Вихід" інформаційну групу  $i(x)$ , після чого розмикається.

У випадку формування кодового слова несистематичним методом, починаючи з  $(n-k)$ -го такту цього циклу розмикається ключ 9, а ключі 4 і 8 замикаються. При цьому з виходу  $T_{n-k}$  буферного реєстра зсуву 6 подається прийнята кодова послідовність  $c(x)$  з виправленими помилками на вхід синдромного реєстра 2, а з виходу першого тригера цього реєстра знімається виділена інформаційна послідовність  $i(x)$ , яка і передається на "Вихід".

Синдромний реєстр зсуву зі зворотними зв'язками 2 (фіг. 3) має довжину  $(n-k=23-12=11)$  розрядів і реалізується на D-тригерах з установочними входами. Місця розташування зворотних зв'язків визначаються структурою утворюючого поліному

$$g(x)=x^{11}+x^{10}+x^6+x^5+x^4+x^2+1.$$

Виходи кожного тригера формують вихідну розрядну шину  $S_x$ , а установочні входи кожного тригера формують шину модифікації синдромного регістра зсуву.

Перший пристрій розв'язки вхідних сигналів 1, та модифікатор синдромів 3 реалізовано на суматорах по модулю два.

5 Коректор помилок за алгоритмом Касамі 11 (фіг. 4), має два ідентичні канали.

Перший канал складається з задатчика кодограми  $S_5(x)=x^9+x^8+x^6+x^5+x^2+x$  12, виходи якого з'єднані з першими входами суматора по модулю два 13, другі входи якого з'єднані з виходами розрядної шини  $S_x$  синдромного регістра зсуву 2, блок перевірки умови  $S_x \oplus S_5 \leq 2$  14 входи якого з'єднані з виходами суматора по модулю два 13, а вихідним сигналом Мод.5 виправляється помилка в 5-му розряді

10 буферного регістра 6 і одночасно з результатом підсумовування по модулю два  $S_x \oplus S_5$  формує установочні сигнали для модифікації синдромного регістра 2.

Другий канал в складі задатчика кодограмм  $S_6(x)=x^{10}+x^9+x^7+x^6+x^3+x^2$  15, суматора по модулю два 16 та блока перевірки умови  $S_x \oplus S_6 \leq 2$  17 вихідним сигналом Мод.6 виправляється помилка в 6-му розряді буферного регістра 6 і одночасно з результатом підсумовування по модулю два  $S_x \oplus S_6$  формує установочні сигнали для модифікації синдромного регістра 2.

Буферний n-розрядний регистр зсуву 6 (фіг. 5), має довжину n=23. Для можливості корекції 5-го та 6-го розрядів, відповідно до алгоритму Касамі, в нього додатково введені два суматори по модулю два перед цими розрядами.

20 Коректор помилок 7 та другий пристрій розв'язки вхідних сигналів 10 реалізовано на суматорах по модулю два.

Формувач сигналів модифікації n-го розряду синдромного (n-k)-розрядного регістра зсуву зі зворотними зв'язками 2 і буферного «n-розрядного регістра зсуву 6 (фіг. 6) працює наступним чином. При відсутності сигналів Мод.5 та Мод.6 рівнем лог."0" блокується робота елементів DD6 та DD7. При цьому на входах установки n-го тригера синдромного регістра 2 присутні пасивні рівні і тригер працює в режимі зсуву по входах D і C.

Прияві сигналу Мод.5 дозволяється робота елементів DD6 та DD7 і на одному з входів установки з'являється активний рівень в залежності від стану n-го розряду результата  $S_x \oplus S_5$ .

Аналогічним чином формуються установочні сигнали і прияві сигналу Мод.6.

30 Процес виправлення помилок в пропонованому модифікованому неалгебраїчному декодері зручно розглянути за допомогою просторово-часової діаграми для узятих як приклад  $i(x)$ ,  $c(x)$ ,  $e(x)$ ,  $v(x)$ .

Пропонований декодер обробляє кодові слова коду Голея за три цикли роботи з 23 такту в кожнім циклі.

35 Як видно з фіг. 7, на 69-му такті в буферному регістрі сформовано кодове слово з виправленими помилками. Крім того, при необхідності його подальшого використання, його можна зняти в послідовному коді з першого розряду регістра, починаючи з 47-го такту.

Таким чином вирішується підвищення надійності виявлення та виправлення помилок в наслідок чого підвищується завадостійкість кодування.

40 Джерела інформації:

1. Патент ПЛ RU № 85778. Неалгебраїческий декодер. Жиляков Е.Г., Белов С.П., Макаров Л.Б., Лихолоб П.Г. по заявке 2009112662, 2009.

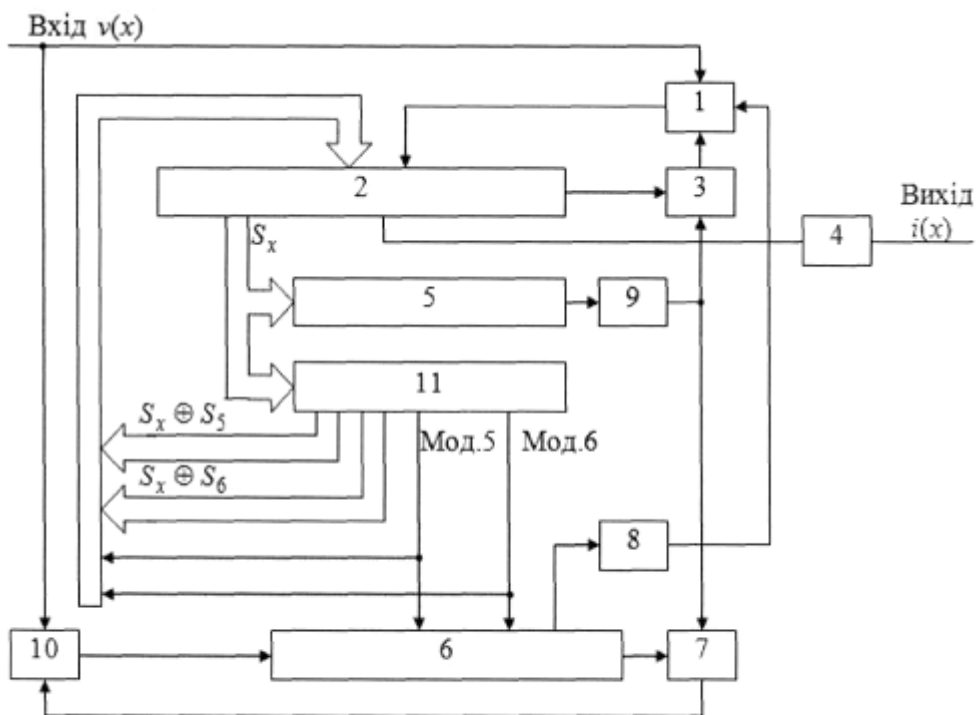
2. Блейхут Р. Теория и практика кодов, контролирующих ошибки /Пер. с англ. - М.: Мир, 1986. - С. 164. - Рис. 6.17. - 576 с.

45 3. Патент на КМ UA № 84354. Неалгебраїчний декодер коригувальних кодів. Макаров Л.Б., Коняхін Г.Ф., Бітченко О.М. МПК H04L 1/00, Бюл. № 20 від 25.10.2013

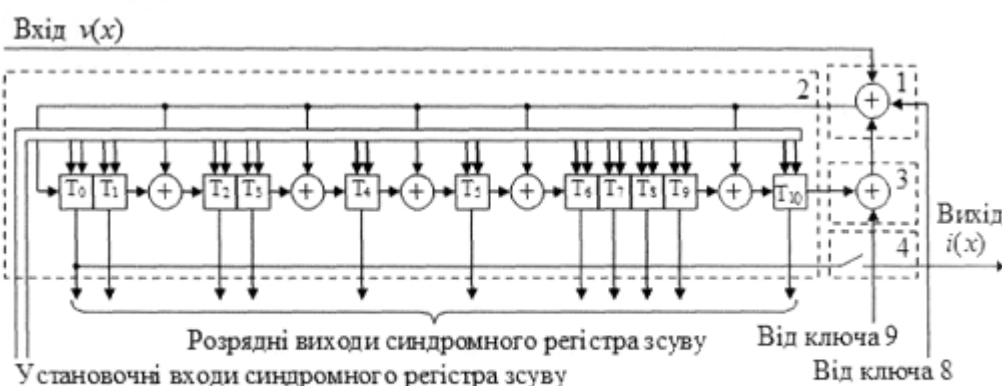
#### ФОРМУЛА КОРИСНОЇ МОДЕЛІ

50 Неалгебраїчний декодер коригувальних кодів, що містить перший пристрій розв'язки вхідних сигналів, перший вхід якого з'єднаний із входом декодера  $v(x)$ ,  
55 синдромний (n-k)-розрядний регістр зсуву зі зворотними зв'язками, вихід старшого розряду якого з'єднано з першим входом модифікатора синдрому, а з виходу молодшого розряду виділяється інформаційна посилка, яка через перший ключ подається на вихід декодера,  
виходи кожного тригера синдромного (n-k)-розрядного регістра зсуву зі зворотними зв'язками  $S_x$   
60 з'єднані із входами логічного блока перевірки синдромів за заданими критеріями, буферний n-розрядний регістр зсуву, вихід якого з'єднаний з першим входом коректора помилок, другий вхід якого з'єднано з другим входом модифікатора синдрому, другий ключ, який встановлено між виходом (n-k)-го осередку буферного n-розрядного регістра зсуву і третім входом першого пристрію розв'язки вхідних сигналів, який **відрізняється** тим, що в нього додатково введений

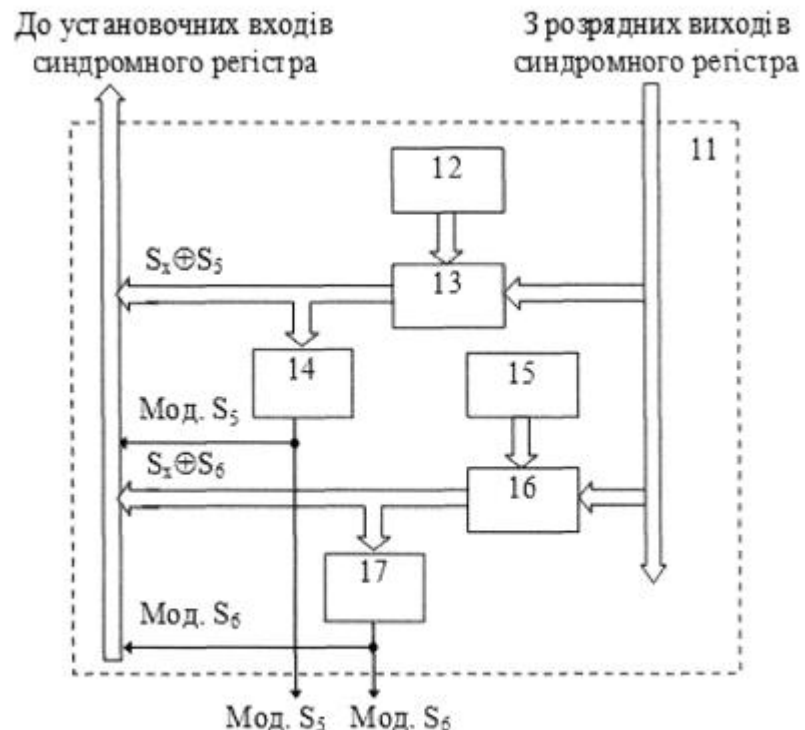
третій ключ, який одним кінцем з'єднаний з виходом логічного блока перевірки синдромів за заданими критеріями, а другим - з другим входом коректора помилок та першим входом модифікатора синдрому, другий пристрій розв'язки вхідних сигналів, перший вхід якого з'єднано із входом декодера  $v(x)$  та першим входом першого пристрою розв'язки вхідних сигналів, другий 5 вхід - з виходом коректора помилок, а вихід - із виходом буферного  $n$ -розрядного реєстра зсуву, коректор помилок за алгоритмом Касамі, перший та другий виходи корекції якого Мод. 5 та Мод. 6 з'єднані відповідно з другим та третім входами буферного  $n$ -розрядного реєстра зсуву, а також разом з першим  $S_x \oplus S_5$  та другим  $S_x \oplus S_6$  розрядними виходами формуює шину 10 установочних сигналів синдромного ( $n-k$ )-розрядного реєстра зсуву зі зворотними зв'язками, а розрядні входи коректора помилок за алгоритмом Касамі з'єднані відповідно з входами логічного блока перевірки синдромів та виходами  $S_x$  синдромного ( $n-k$ )-розрядного реєстра зсуву зі зворотними зв'язками.



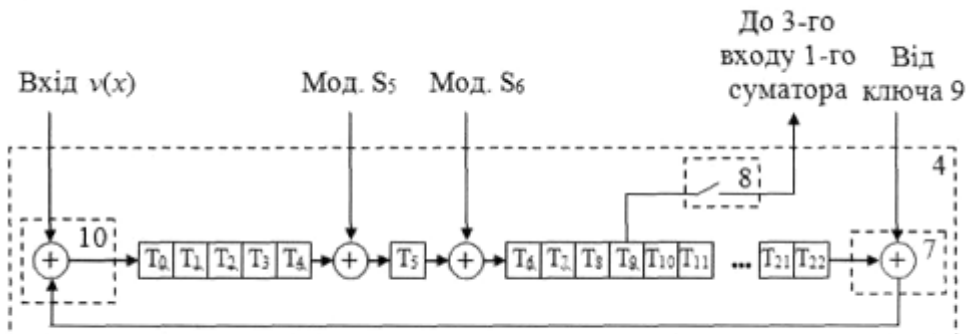
Фіг. 1



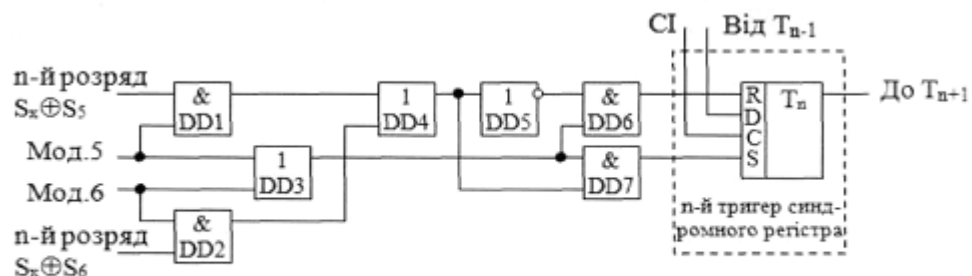
Фіг. 2



Фіг. 3



Фіг. 4



Фіг. 5

Цикли	Такти	$V(x)$	(n-k) комірок синдромного реєстра										ЛБПС	Коректор за кодограмами								$S_5$	$S_6$	Коментарі				
			$T_0$	$T_1$	$T_2$	$T_3$	$T_4$	$T_5$	$T_6$	$T_7$	$T_8$	$T_9$		$T_0$	$T_1$	$T_2$	$T_3$	$T_4$	$T_5$	$T_6$	$T_7$	$T_8$	$T_9$	$T_{10}$				
1-й цикл роботи декодера	1	1	1		1		1	1	1																			
	2	1		1		1		1	1	1																		
	3				1		1		1	1	1																	
	4	1	1			1	1	1		1	1	1	1															
	5		1	1	1	1				1	1	1	1															
	6	1	1	1		1			1	1	1	1	1															
	7	1	1	1					1		1	1	1															
	8	1	1	1				1	1																			
	9	1	1	1				1																				
	10			1	1				1																			
	11		1			1	1	1																				
	12	1		1			1	1	1																			
	13	1	1				1			1																		
	14	1		1				1			1																	
	15	1	1				1	1											1	1								
	16	1		1				1	1										1									
	17		1				1	1		1								1										
	18	1		1					1	1		1						1										
	19				1					1	1		1					1										
	20	1	1		1	1	1	1	1	1	1	1																
	21			1		1	1	1	1	1	1	1	1															
	22	1	1								1	1	1															
	23			1							1	1	1															

Фіг. 6

Такти	V(x)	(n-k) комірок синдромного реєстра	ЛБІС										Коректор за кодограмами						$S_4$	$S_6$	Коментарі					
			T <sub>0</sub>	T <sub>1</sub>	T <sub>2</sub>	T <sub>3</sub>	T <sub>4</sub>	T <sub>5</sub>	T <sub>6</sub>	T <sub>7</sub>	T <sub>8</sub>	T <sub>9</sub>	T <sub>0</sub>	T <sub>1</sub>	T <sub>2</sub>	T <sub>3</sub>	T <sub>4</sub>	T <sub>5</sub>	T <sub>6</sub>	T <sub>7</sub>	T <sub>8</sub>	T <sub>9</sub>	T <sub>10</sub>			
24	1	1 1 1 1 1 1	1	1	1	1	1	1	1	1	1	1	1	1	1	1	1	1	1	1	1	1	1	1	1	1
		Не модифікується																								
25	1	1 1 1 1 1 1	1	1	1	1	1	1	1	1	1	1	1	1	1	1	1	1	1	1	1	1	1	1	1	1
		Не модифікується																								
26	1	1 1 1 1 1 1	1	1	1	1	1	1	1	1	1	1	1	1	1	1	1	1	1	1	1	1	1	1	1	1
		Не модифікується																								
27	1 1 1 1 1 1	1 1 1 1 1 1	1	1	1	1	1	1	1	1	1	1	1	1	1	1	1	1	1	1	1	1	1	1	1	1
		Не модифікується																								
28	1 1 1 1 1 1	1 1 1 1 1 1	1	1	1	1	1	1	1	1	1	1	1	1	1	1	1	1	1	1	1	1	1	1	1	1
		Не модифікується																								
29	1 1 1 1 1 1	1 1 1 1 1 1	1	1	1	1	1	1	1	1	1	1	1	1	1	1	1	1	1	1	1	1	1	1	1	1
		Не модифікується																								
30	1 1 1 1 1 1	1 1 1 1 1 1	1	1	1	1	1	1	1	1	1	1	1	1	1	1	1	1	1	1	1	1	1	1	1	1
		Не модифікується																								
31	1 1 1 1 1 1	1 1 1 1 1 1	1	1	1	1	1	1	1	1	1	1	1	1	1	1	1	1	1	1	1	1	1	1	1	1
		Не модифікується																								
32	1 1 1 1 1 1	1 1 1 1 1 1	1	1	1	1	1	1	1	1	1	1	1	1	1	1	1	1	1	1	1	1	1	1	1	1
		Не модифікується																								
33	1 1 1 1 1 1	1 1 1 1 1 1	1	1	1	1	1	1	1	1	1	1	1	1	1	1	1	1	1	1	1	1	1	1	1	1
		Не модифікується																								
34	1 1 1 1 1 1	1 1 1 1 1 1	1	1	1	1	1	1	1	1	1	1	1	1	1	1	1	1	1	1	1	1	1	1	1	1
		Не модифікується																								
35	1 1 1 1 1 1	1 1 1 1 1 1	1	1	1	1	1	1	1	1	1	1	1	1	1	1	1	1	1	1	1	1	1	1	1	1
		Не модифікується																								
36	1 1 1 1 1 1	1 1 1 1 1 1	1	1	1	1	1	1	1	1	1	1	1	1	1	1	1	1	1	1	1	1	1	1	1	1
		Не модифікується																								
37	1 1 1 1 1 1	1 1 1 1 1 1	1	1	1	1	1	1	1	1	1	1	1	1	1	1	1	1	1	1	1	1	1	1	1	1
		Не модифікується																								
38	1 1 1 1 1 1	1 1 1 1 1 1	1	1	1	1	1	1	1	1	1	1	1	1	1	1	1	1	1	1	1	1	1	1	1	1
		Не модифікується																								
39	1 1 1 1 1 1	1 1 1 1 1 1	1	1	1	1	1	1	1	1	1	1	1	1	1	1	1	1	1	1	1	1	1	1	1	1
		Не модифікується																								
40	1 1 1 1 1 1	1 1 1 1 1 1	1	1	1	1	1	1	1	1	1	1	1	1	1	1	1	1	1	1	1	1	1	1	1	1
		Не модифікується																								
41	1 1 1 1 1 1	1 1 1 1 1 1	1	1	1	1	1	1	1	1	1	1	1	1	1	1	1	1	1	1	1	1	1	1	1	1
		Не модифікується																								
42	1 1 1 1 1 1	1 1 1 1 1 1	1	1	1	1	1	1	1	1	1	1	1	1	1	1	1	1	1	1	1	1	1	1	1	1
		Не модифікується																								
43	1 1 1 1 1 1	1 1 1 1 1 1	1	1	1	1	1	1	1	1	1	1	1	1	1	1	1	1	1	1	1	1	1	1	1	1
		Не модифікується																								
44	1 1 1 1 1 1	1 1 1 1 1 1	1	1	1	1	1	1	1	1	1	1	1	1	1	1	1	1	1	1	1	1	1	1	1	1
		Не модифікується																								
45	1 1 1 1 1 1	1 1 1 1 1 1	1	1	1	1	1	1	1	1	1	1	1	1	1	1	1	1	1	1	1	1	1	1	1	1
		Не модифікується																								
46	1 1 1 1 1 1	1 1 1 1 1 1	1	1	1	1	1	1	1	1	1	1	1	1	1	1	1	1	1	1	1	1	1	1	1	1

Фіг. 6

## Продовження

Фіг. 6

Закінчення

Лакт ПБІС	S <sub>3</sub>	S <sub>4</sub>	Буферний реєстр																				
			T <sub>0</sub>	T <sub>1</sub>	T <sub>2</sub>	T <sub>3</sub>	T <sub>4</sub>	T <sub>5</sub>	T <sub>6</sub>	T <sub>7</sub>	T <sub>8</sub>	T <sub>9</sub>	T <sub>10</sub>	T <sub>11</sub>	T <sub>12</sub>	T <sub>13</sub>	T <sub>14</sub>	T <sub>15</sub>	T <sub>16</sub>	T <sub>17</sub>	T <sub>18</sub>	T <sub>19</sub>	
23			1	1	1	1	1	1	1	1	1	1	1	1	1	1	1	1	1	1	1	1	1
24			1	1	1	1	1	1	1	1	1	1	1	1	1	1	1	1	1	1	1	1	1
25			1	1	1	1	1	1	1	1	1	1	1	1	1	1	1	1	1	1	1	1	1
26			1	1	1	1	1	1	1	1	1	1	1	1	1	1	1	1	1	1	1	1	1
27			1	1	1	1	1	1	1	1	1	1	1	1	1	1	1	1	1	1	1	1	1
28			1	1	1	1	1	1	1	1	1	1	1	1	1	1	1	1	1	1	1	1	1
29			1	1	1	1	1	1	1	1	1	1	1	1	1	1	1	1	1	1	1	1	1
30			1	1	1	1	1	1	1	1	1	1	1	1	1	1	1	1	1	1	1	1	1
31			1	1	1	1	1	1	1	1	1	1	1	1	1	1	1	1	1	1	1	1	1
32			1	1	1	1	1	1	1	1	1	1	1	1	1	1	1	1	1	1	1	1	1
33			1	1	1	1	1	1	1	1	1	1	1	1	1	1	1	1	1	1	1	1	1
34			1	1	1	1	1	1	1	1	1	1	1	1	1	1	1	1	1	1	1	1	1
35			1	1	1	1	1	1	1	1	1	1	1	1	1	1	1	1	1	1	1	1	1
36			1	1	1	1	1	1	1	1	1	1	1	1	1	1	1	1	1	1	1	1	1
37			1	1	1	1	1	1	1	1	1	1	1	1	1	1	1	1	1	1	1	1	1
38			1	1	1	1	1	1	1	1	1	1	1	1	1	1	1	1	1	1	1	1	1
39			1	1	1	1	1	1	1	1	1	1	1	1	1	1	1	1	1	1	1	1	1
40			1	1	1	1	1	1	1	1	1	1	1	1	1	1	1	1	1	1	1	1	1
41			1	1	1	1	1	1	1	1	1	1	1	1	1	1	1	1	1	1	1	1	1
42			1	1	1	1	1	0	1	1	1	1	1	1	1	1	1	1	1	1	1	1	1
43			1	1	1	1	1	1	0	1	1	1	1	1	1	1	1	1	1	1	1	1	1
44			0	1	1	1	1	1	1	0	1	1	1	1	1	1	1	1	1	1	1	1	1
45			0	1	1	1	1	1	1	0	1	1	1	1	1	1	1	1	1	1	1	1	1
46			1	0	1	1	1	1	1	1	0	1	1	1	1	1	1	1	1	1	1	1	1
47			1	1	0	1	1	1	1	1	1	0	1	1	1	1	1	1	1	1	1	1	1
48			1	1	0	1	1	1	1	1	1	0	1	1	1	1	1	1	1	1	1	1	1
49			1	1	0	1	1	1	1	1	1	0	1	1	1	1	1	1	1	1	1	1	1
50			0	1	1	0	1	1	1	1	1	0	1	1	1	1	1	1	1	1	1	1	1
51			0	1	1	0	1	1	1	1	1	0	1	1	1	1	1	1	1	1	1	1	1
52			1	0	1	1	0	1	1	1	1	1	1	1	1	1	0	1	1	1	1	1	1
53			1	1	0	1	1	1	0	1	1	1	1	1	1	1	0	1	1	1	1	1	1
54			1	1	1	0	1	1	1	0	1	1	1	1	1	1	1	0	1	1	1	1	1
55			1	1	1	1	0	1	1	1	0	1	1	1	1	1	1	0	1	1	1	1	1
56			1	1	1	1	1	0	1	1	1	0	1	1	1	1	1	1	0	1	1	1	1
57			1	1	1	1	1	0	1	1	1	0	1	1	1	1	1	1	0	1	1	1	1
58			1	1	1	1	1	1	0	1	1	1	0	1	1	1	1	1	1	0	1	1	1
59			0	1	1	1	1	1	1	0	1	1	1	0	1	1	1	1	1	1	1	1	1
60			1	0	1	1	1	1	1	1	0	1	1	1	1	0	1	1	1	1	1	1	1
61			1	1	0	1	1	1	1	1	1	0	1	1	1	1	0	1	1	1	1	1	1
62			1	1	1	0	1	1	1	1	1	1	0	1	1	1	1	0	1	1	1	1	1
63			1	1	1	0	1	1	1	1	1	1	0	1	1	1	1	0	1	1	1	1	1
64			1	1	1	1	0	1	1	1	1	1	0	1	1	1	1	0	1	1	0	1	1
65			1	1	1	1	1	0	1	1	1	1	1	0	1	1	1	0	1	1	0	1	1
66			1	1	1	1	1	1	0	1	1	1	1	1	1	0	1	1	1	0	1	1	1
67			1	1	1	1	1	1	1	0	1	1	1	1	1	1	0	1	1	1	0	1	1
68			0	1	1	1	1	1	1	1	0	1	1	1	1	1	1	0	1	1	1	0	1
69			0	1	1	1	1	1	1	1	1	0	1	1	1	1	1	0	1	1	1	0	1

$$\begin{aligned}
 v(x) = & x^{22} + x^{21} + x^{17} + x^{16} + x^{15} + x^{14} + x^{13} + x^{11} + x^8 + x^6 + x^5 + x^3 = \\
 = & 11000111100101110101000
 \end{aligned}$$